

Лекция 1. Мезонные теории ядерных сил

История вопроса. Идеи Юкавы. Виртуальные и реальные частицы. Псевдоскалярная природа πN -связи. Тензорное NN -взаимодействие. Экспериментальные доказательства существования тензорного NN -взаимодействия. Феноменологические NN -потенциалы. Современное развитие модели Юкавы. Эффективная теория поля для NN -взаимодействия.

1.1. ИСТОРИЧЕСКИЙ ЭКСКУРС

В 1932–1933 гг., сразу после открытия Чедвиком нейтрона, Дмитрий Иваненко и вскоре после него Вернер Гайзенберг предположили, что атомные ядра состоят из нейтронов и протонов — частиц с очень близкими массами. А поскольку к этому времени уже было известно, что существуют разные изотопы одного и того же элемента, например, ^{12}C , ^{13}C , ^{14}C и т.д., то Гайзенберг предположил, что нейтрон и протон — это фактически одна и та же частица — нуклон, которая может находиться в двух разных зарядовых состояниях. На современном языке, протон и нейтрон соответствуют нуклону с двумя разными проекциями изоспина $t_N = 1/2$, т.е. $t_{+1/2} = +1/2$ и $t_{-1/2} = -1/2$.

Далее Гайзенберг предположил [1], что нуклоны в ядре держатся за счет “обмена местами” (нем. “Platzwechsel”). Соответствующий механизм взаимодействия нуклонов в дейтроне проиллюстрирован на Рис. 1.1.



Рис. 1.1. Иллюстрация идеи Гайзенберга об обменном взаимодействии между протоном и нейтроном в дейтроне.

Напомним, в начале 1930-х годов еще не было известно о π -мезонах, и поэтому было неясно, каким путем протон может перейти в нейтрон и обратно за счет сильного взаимодействия. Затем Энрико Ферми (вскоре после создания теории β -распада на основе четырехфермионного взаимодействия в 1933 г.), а также Игорь Тамм и Дмитрий Иваненко (в 1934 г.), по аналогии с процессами β -распада, т.е. слабого взаимодействия, предположили, что нейтрон и протон в ядре взаимодействуют путем излучения и поглощения пары лептонов — нейтрино и электрона [2] (см. Рис. 1.2).

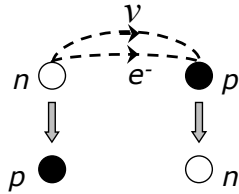


Рис. 1.2. Иллюстрация гипотезы Ферми np -взаимодействия за счет обмена парой лептонов.

Однако такая сила (слабого взаимодействия) оказалась слишком слабой и неспособной связать нуклоны в ядрах. Тогда Хидеки Юкава (в 1935 г.) предположил, по аналогии с теорией электромагнитных взаимодействий (см. Рис. 1.3), что нуклоны могут обмениваться квантами «тяжелого» или массивного поля, т.е. частицами, которые несут положительный или отрицательный электрический заряд [3] (см. Рис. 1.4).



Рис. 1.3. Электромагнитное взаимодействие двух электронов или электрона и позитрона за счет обмена γ -квантом в квантовой электродинамике.

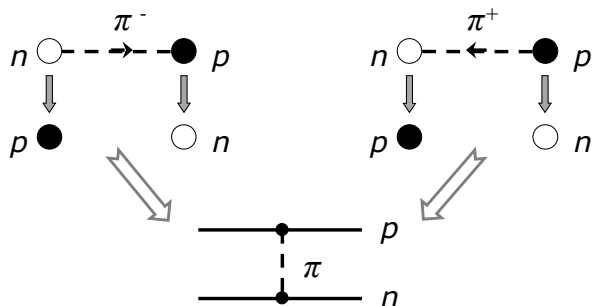


Рис. 1.4. Нуклон-нуклонное взаимодействие согласно гипотезе Юкавы.

Таким образом, Юкава предположил [3], что должны существовать еще не открытые «тяжелые» заряженные частицы — мезоны, которые переносят сильное взаимодействие между нуклонами в ядре. Исходя из известного радиуса ядерных сил, Юкава оценил примерную массу таких частиц, которая оказалась в 250–280 раз больше хорошо известной массы электрона.

Получим теперь выражение для такого обменного взаимодействия. Будем считать π -мезон квантом скалярного релятивистского поля $\Psi(\mathbf{r}, t)$ с массой m .

Если в релятивистском соотношении для энергии $E^2 = p^2c^2 + m^2c^4$ сделать замену $\mathbf{p} \rightarrow -i\hbar\nabla$, $E \rightarrow i\hbar\frac{\partial}{\partial t}$, как обычно в

квантовой механике, то получается хорошо известное релятивистское уравнение Клейна–Гордона для скалярного поля $\Psi(\mathbf{r}, t)$:

$$\left(\nabla^2 - \frac{1}{c^2} \frac{\partial^2}{\partial t^2} - \mu^2 \right) \Psi(\mathbf{r}, t) = 0, \quad \mu = \frac{mc}{\hbar}, \quad (1)$$

где μ — масса частицы — кванта скалярного поля.

При $\mu = 0$ получаем обычное волновое уравнение для безмассового фотона. Такое уравнение описывает распространение электромагнитной волны в пустоте, т.е. там, где нет зарядов – источников электромагнитного поля. В случае распространения электромагнитной волны определим скалярный Φ и векторный \mathbf{A} потенциалы:

$$\mathbf{E} = -\nabla\Phi - \frac{1}{c} \frac{\partial \mathbf{A}}{\partial t}, \quad \mathbf{H} = \nabla \times \mathbf{A}. \quad (2)$$

Тогда из уравнений Максвелла следуют волновые уравнения для Φ и \mathbf{A} :

$$\begin{aligned} \nabla^2 \Phi - \frac{1}{c^2} \frac{\partial^2 \Phi}{\partial t^2} &= -4\pi\rho, \\ \nabla^2 \mathbf{A} - \frac{1}{c^2} \frac{\partial^2 \mathbf{A}}{\partial t^2} &= -\frac{4\pi}{c} \mathbf{j}, \end{aligned} \quad (3)$$

где ρ — плотность заряда, \mathbf{j} — плотность тока источников поля. В вакууме ρ и \mathbf{j} равны нулю, и для Φ и \mathbf{A} получаем обычные волновые уравнения.

Юкава рассмотрел статический случай, т.е. когда нуклоны покоятся (или движутся очень медленно). Тогда волновая функция $\Psi(\mathbf{r}, t) \Rightarrow \Psi(\mathbf{r})$, т.е. не зависит от времени. И тогда получаем уравнение

$$(\nabla^2 - \mu^2) \Psi(\mathbf{r}) = 0. \quad (4)$$

Запишем теперь лапласиан ∇^2 в сферических координатах:

$$\frac{1}{r^2} \frac{d}{dr} \left(r^2 \frac{d\Psi}{dr} \right) - \frac{\hat{l}^2}{r^2} \Psi - \mu^2 \Psi = 0, \quad (5)$$

где \hat{l}^2 — оператор квадрата орбитального момента (включает угловые зависимости). Для сферически симметричного случая $\hat{l}^2 = 0$ находим:

$$\frac{1}{r^2} \frac{d}{dr} \left(r^2 \frac{d\Psi}{dr} \right) - \mu^2 \Psi = 0. \quad (6)$$

Легко найти решение этого уравнения явно:

$$\Psi(r) = g \frac{e^{-\mu r}}{r}, \quad (7)$$

где константа g играет роль заряда источника. Второе (независимое) решение $\Psi(r) = g' \frac{e^{+\mu r}}{r}$ экспоненциально растет и поэтому отбрасывается из физических соображений.

Каков смысл полученного нами решения $\Psi(r)$? Эта волновая функция отвечает волновой функции виртуального скалярного мезона, который излучается покоящимся нуклоном, с “сильным” зарядом g , находящимся в начале координат.

Теперь поместим в это мезонное поле второй нуклон с таким же зарядом g на расстоянии r_{12} от первого нуклона. Ясно, что потенциальная энергия второго нуклона в этом поле будет

$$U_{12} = g\Psi(r_{12}) = g^2 \frac{e^{-\mu r_{12}}}{r_{12}} \quad (8)$$

(Например, в электромагнетизме потенциальная энергия электрического заряда e в скалярном поле Φ есть $U = e\Phi$, и у нас $\Psi(r)$ играет роль Φ , ибо уравнения для них одинаковы.)

Таким образом, в теории Юкавы потенциальная энергия взаимодействия двух нуклонов, которые обмениваются мезоном с массой μ , равна

$$U_{12} = g^2 \frac{e^{-\mu r_{12}}}{r_{12}}. \quad (9)$$

Оценим массу этого мезона из условия, что радиус обменной силы примерно равен радиусу ядра $r_{\text{я}} \sim 10^{-13}$ см = 1 Фм. Легко получить массу $m_{\pi} \approx 140$ МэВ, если взять $\frac{1}{\mu} = \frac{\hbar}{m_{\pi}c} \approx 1$ Фм.

Впоследствии (в 1947 г.) эти (псевдо)скалярные частицы, предсказанные Юкавой, были открыты в космических лучах, и их масса оказалась на самом деле около 140 МэВ, т.е. они в 280 раз тяжелее электрона.

1.2. ВИРТУАЛЬНЫЕ И РЕАЛЬНЫЕ ЧАСТИЦЫ: В ЧЕМ РАЗЛИЧИЕ?

Теперь возникает важный вопрос: как физически понять такой обменный механизм взаимодействия двух нуклонов (см. Рис. 1.5)?

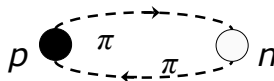


Рис. 1.5. Обмен пионом между протоном и нейтроном.

Если протон испускает π -мезон с массой $m_{\pi} = 140$ МэВ, то кажется, что его масса должна уменьшиться на величину m_{π} .

Тогда протон должен превратиться совсем в другую частицу! И наоборот: если нейтрон поглощает такой мезон, то его масса должна увеличиться на 140 МэВ, и он тогда должен превратиться совсем в другую частицу. Однако в реальности протон, испуская π -мезон, превращается в нейтрон почти такой же массы, и наоборот: нейтрон, поглощая π -мезон, превращается в протон. Как примирить реальную ситуацию с нашими интуитивными ожиданиями?

Для этого вспомним принцип неопределенности Гайзенберга для энергии:

$$\Delta E \Delta t \geq \hbar.$$

Это означает, что на очень короткое время t можно родить или поглотить частицу с массой $m \approx E/c^2$. Таким образом, рождение и поглощение пионов нуклонами не нарушает закона сохранения энергии, т.к. находится в согласии с соотношением неопределенностей для энергии и времени.

Если рождается промежуточная частица с массой m , то неопределенность в энергии должна быть $\Delta E \approx mc^2$, и поэтому длительность существования такой частицы будет $\Delta t \approx \hbar/\Delta E = \hbar/mc^2$, а путь, который частица может пройти, будет $l = c \cdot \Delta t \approx \hbar/mc = \lambda_C$. Отсюда следует, что у взаимодействия, связанного с обменом частицей, имеющей массу m , радиус действия должен быть порядка комптоновской длины волны $\lambda_C = \hbar/mc$.

Пусть теперь рождаются сразу n мезонов. Тогда энергии промежуточных состояний равны $n \cdot mc^2$, а радиус соответствующего взаимодействия будет равен λ_C/n , т.е. в n раз короче. Таким образом, взаимодействие, отвечающее обмену одним пионом ($n = 1$), имеет самый большой радиус (~ 1.4 Фм) и называется потенциалом однопионного обмена (OPEP — One-Pion-

Exchange Potential). Радиус двухпионного обмена будет в два раза меньше (~ 0.7 ФМ) и т.д.

1.3. ПСЕВДОСКАЛЯРНАЯ ПРИРОДА ПИОНА И πN -СВЯЗИ

На самом деле пион — не скаляр, а псевдоскаляр, т.к. его внутренняя волновая функция имеет отрицательную (внутреннюю) четность, что связано с его кварковой структурой [4]. Это означает, что при зеркальных пространственных отражениях волновая функция пиона меняет знак!

Кроме того, было экспериментально найдено, что имеются три различных пиона: два заряженных π^+ и π^- и один нейтральный π^0 . Эти три пиона соответствуют частице с изотопическим спином $\tau = 1$, имеющим три проекции $\tau_{+1} = +1$, $\tau_0 = 0$, $\tau_{-1} = -1$. Т.е. пион — это изовектор (вектор в изотопическом пространстве).

Это приводит к тому, что потенциал взаимодействия пиона и нуклона включает в себя не только константу взаимодействия g (т.е. “заряд”), но и операторы изоспина τ и спина σ :

$$\Psi(\mathbf{r}, \boldsymbol{\tau}, \boldsymbol{\sigma}) = g^2 (\boldsymbol{\tau} \cdot \boldsymbol{\sigma}) \frac{e^{-\mu r_{12}}}{r_{12}}. \quad (10)$$

Тогда правильный юкавский потенциал равен:

$$V = \frac{1}{3} \frac{f^2}{\hbar c} m_\pi c^2 (\boldsymbol{\tau}_1 \boldsymbol{\tau}_2) (\boldsymbol{\sigma}_1 \boldsymbol{\sigma}_2) \frac{e^{-\mu r_{12}}}{\mu r_{12}}, \quad (11)$$

где $\mu = \frac{m_\pi c}{\hbar} = 0.7 \text{ ФМ}^{-1}$, $\frac{f^2}{\hbar c} = 0.081 \pm 0.002$ — так называемая

псевдоскалярная константа связи пиона с нуклоном.

Но и это еще не все. Благодаря присутствию оператора $(\sigma_1\sigma_2)$ спин нуклона при излучении или поглощении пиона (в P -волне) преворачивается. И тогда появляется новая сила взаимодействия, тесно связанная со спином двухнуклонной системы.

Именно, если общий спин двух нуклонов $S_{NN} = 1$, то при фиксированном полном угловом моменте возможны два значения орбитального момента L . Например, для дейтрона $J = 1$, $S = 1$, $L = J \pm 1 = 0$ (S -волна) или 2 (D -волна). Для описания такой (тензорной) силы введем оператор:

$$S_{12} \equiv \frac{3}{r^2} (\sigma_1 \mathbf{r})(\sigma_2 \mathbf{r}) - (\sigma_1 \sigma_2) = \frac{6}{r^2} (\mathbf{S} \mathbf{r}) - 2(\mathbf{S})^2, \quad (12)$$

где $\mathbf{r} = \mathbf{r}_1 - \mathbf{r}_2$. Тогда полный потенциал однопионного обмена равен:

$$V^{OPEP} = \frac{1}{3} \frac{f^2}{\hbar c} m_\pi c^2 (\boldsymbol{\tau}_1 \boldsymbol{\tau}_2) \left[(\sigma_1 \sigma_2) + \left(1 + \frac{3}{\mu r} + \frac{3}{(\mu r)^2} \right) S_{12} \right] \frac{e^{-\mu r}}{\mu r}, \quad (13)$$

где $V_0 = \frac{1}{3} \frac{f^2}{\hbar c} m_\pi c^2 = 3.73$ МэВ.

Это означает, что, когда $\mathbf{S} \parallel \mathbf{r}$, тензорный потенциал между двумя нуклонами будет притягивающим, а когда $\mathbf{S} \perp \mathbf{r}$, — отталкивающим (см. Рис. 1.6).



Рис. 1.6. Тензорная сила между двумя нуклонами в дейтроне (тензорное притяжение и тензорное отталкивание).

Поэтому конфигурация в дейтроне, когда спины обоих нуклонов направлены вдоль соединяющего их радиус-вектора \mathbf{r} , отвечает более сильному притяжению, чем при перпендикуляр-

ном взаимном направлении спинов нуклонов и радиус-вектора \mathbf{r} . В результате дейтрон должен иметь форму с небольшой вытянутостью вдоль направления полного спина \mathbf{S} .

1.4. ЭКСПЕРИМЕНТАЛЬНЫЕ ДОКАЗАТЕЛЬСТВА СУЩЕСТВОВАНИЯ ТЕНЗОРНОГО MN -ПОТЕНЦИАЛА В ДЕЙТРОНЕ

Если два нуклона в дейтроне с $J^\pi = 1^+$, находящиеся в триплетном ($S = 1$) спиновом состоянии, находятся также в S -состоянии относительного движения ($L = 0$), то, если пренебречь вкладом обменных токов, дейтрон должен обладать полностью аддитивным магнитным моментом:

$\mu_d = \mu_p + \mu_n$, т.е. $\mu_d = (2.7927 - 1.9135) \mu_N = 0.8792 \mu_N$ (μ_N — ядерный магнетон).

Однако экспериментальное значение магнитного момента дейтрона равно $\mu_d^{\text{exp}} = 0.85739 \mu_N$!

С другой стороны, экспериментально известно (с 1939 г.), что дейтрон обладает квадрупольным моментом $Q_d \neq 0$ ($Q_d = +2.86 \cdot 10^{-27} \text{ см}^2$), что возможно только при наличии в дейтроне D -волны (компоненты с $L = 2$). Тогда волновая функция дейтрона имеет вид:

$$\Psi_d = \alpha_S \Psi(^3S_1) + \alpha_D \Psi(^3D_1), \quad (14)$$

с учетом нормировки $|\alpha_S|^2 + |\alpha_D|^2 = 1$. Экспериментальные значения μ_d и Q_d можно одновременно получить, если взять $|\alpha_S|^2 = 0.96$ и $|\alpha_D|^2 = 0.04$. Т.е. в дейтроне должно быть 96% S -волны и 4% D -волны.

К сожалению, с такими значениями для вероятности S - и D -волн в дейтроне очень трудно описать другие важные параметры тензорного взаимодействия, например, параметр смешивания

вания ε_1 для 3S_1 - и 3D_1 -каналов в упругом np -рассеянии. Поэтому почти все современные NN -потенциалы, которые очень хорошо описывают экспериментальные данные по NN -рассеянию, дают значение $|\alpha_D|^2 = 0.055$, т.е. они не воспроизводят экспериментальные значения μ_d и Q_d . И тогда можно было бы включить небольшой вклад обменных мезонных токов (см. Рис. 1.7), которым мы здесь пренебрегли. Однако вклад такого обменного тока в квадрупольный момент дейтрона оказывается очень малым и не решает проблему точного описания квадрупольного момента дейтрона.

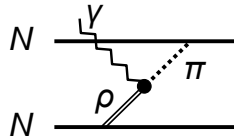


Рис. 1.7. Диаграмма $\rho\pi$ -обменного тока в NN -системе [5] (такие обменные токи дают малый вклад в зарядовую плотность в дейтроне).

1.5. ПОСТРОЕНИЕ ФЕНОМЕНОЛОГИЧЕСКИХ NN -ПОТЕНЦИАЛОВ

1.5.1. Понятие о парциальных фазовых сдвигах рассеяния

Рассмотрим сначала свободное движение бесспиновой частицы в сферической системе координат. Тогда орбитальный угловой момент и его проекция являются “хорошими” квантовыми числами, и решение уравнения Шредингера (УШ) для свободной частицы можно разложить по базису сферических гармоник $Y_{lm}(\theta, \varphi)$. Тогда, отделяя угловые переменные в УШ, получим радиальное уравнение

$$\left(\frac{d^2}{d\rho^2} + \frac{2}{\rho} \frac{d}{d\rho} + \left(1 - \frac{l(l+1)}{\rho^2} \right) \right) R_l(\rho) = 0, \quad (15)$$

где $\rho = kr$.

Это уравнение Бесселя. При $E > 0$ уравнение имеет одно физически приемлемое решение — сферическую функцию Бесселя $j_l(\rho)$. Тогда

$$\Psi_{lm}(r) = Y_{lm}(\theta, \varphi) j_l(kr). \quad (16)$$

На больших расстояниях, когда $r \rightarrow \infty$, получаем:

$$j_l(kr)|_{r \rightarrow \infty} = \frac{1}{kr} \sin\left(kr - \frac{l\pi}{2}\right). \quad (17)$$

Если теперь частица находится в центрально-симметричном поле $V(r)$, то УШ имеет вид:

$$\left(-\left(\frac{d^2}{dr^2} + \frac{2}{r} \frac{d}{dr} \right) + \frac{l(l+1)}{r^2} + \frac{2\mu}{\hbar^2} V(r) \right) R_l(r) = \frac{2\mu E}{\hbar^2} R_l(r). \quad (18)$$

В асимптотической области, при $r \rightarrow \infty$, $V(r) \rightarrow 0$ в случае короткодействующего потенциала. Тогда в асимптотической области $r \rightarrow \infty$ снова приходим к свободному УШ, решения которого имеют вид линейной суперпозиции двух линейно независимых решений радиального уравнения:

$$rR_l(r)|_{r \rightarrow \infty} = a_l \sin\left(kr - \frac{l\pi}{2}\right) + b_l \cos\left(kr - \frac{l\pi}{2}\right). \quad (19)$$

Это решение можно переписать в виде:

$$rR_l(r)|_{r \rightarrow \infty} = A_l \sin\left(kr - \frac{l\pi}{2} + \delta_l\right), \quad (20)$$

где δ_l — фазовый сдвиг упругого рассеяния.

В итоге получается, что вся информация о взаимодействии частиц содержится в фазовых сдвигах $\delta_l(E)$. Тогда разные

модели потенциалов взаимодействия приводят к разным значениям фазовых сдвигов $\delta_l(E)$ и их разному поведению с энергией (см. Рис. 1.8–1.11).

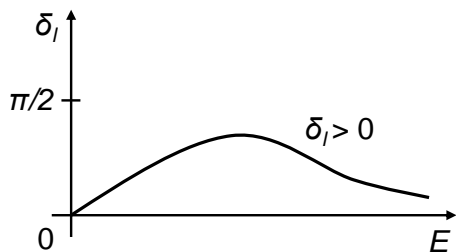


Рис. 1.8. Энергетическая зависимость парциального фазового сдвига $\delta_l(E)$ для притягивающего потенциала $V(r)$ в отсутствие связанных состояний.

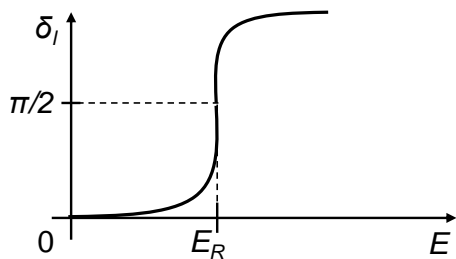


Рис. 1.9. Энергетическая зависимость парциального фазового сдвига $\delta_l(E)$ для притягивающего потенциала $V(r)$ при наличии резонанса.

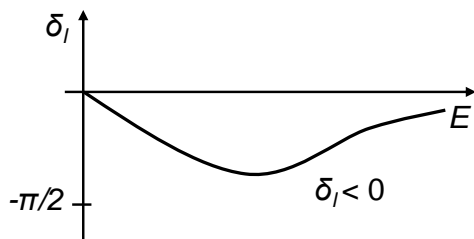


Рис. 1.10. Энергетическая зависимость парциального фазового сдвига $\delta_l(E)$ для отталкивающего потенциала $V(r)$.

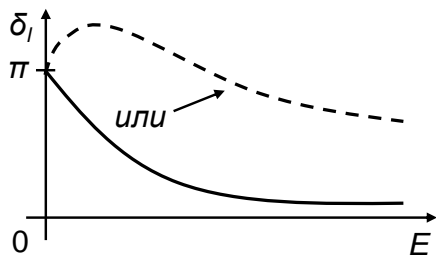


Рис. 1.11. Энергетическая зависимость частичного фазового сдвига $\delta_l(E)$ для притягивающего потенциала $V(r)$ при наличии одного связанного состояния.

1.5.2. Каковы фазовые сдвиги NN -рассеяния на самом деле?

Эмпирические нуклон-нуклонные фазовые сдвиги, полученные в результате частично-волнового анализа (PWA) многочисленных экспериментальных данных по NN -рассеянию, выполненного американской группой SAID в Вашингтонском университете [6] (решение SM16) показаны на Рис. 1.12(а–г).

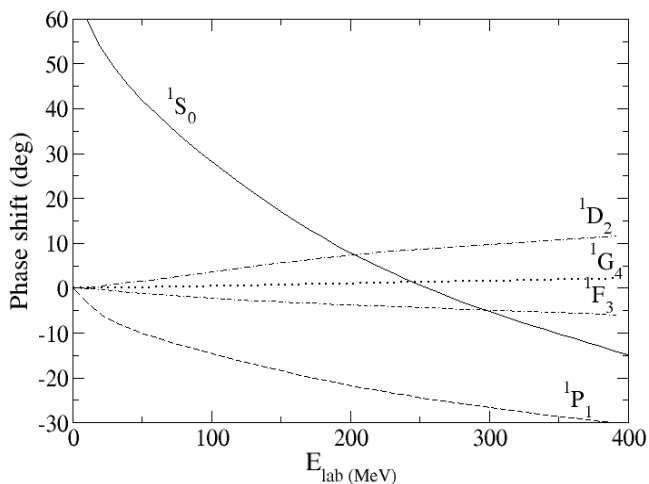


Рис. 1.12а. Эмпирические синглетные фазовые сдвиги NN -рассеяния.

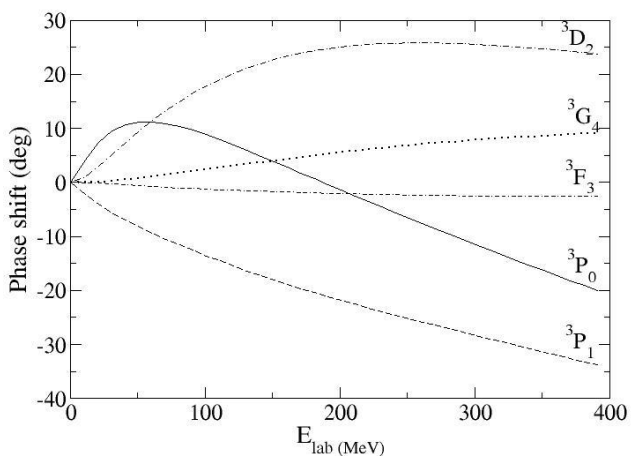


Рис. 1.12б. Эмпирические триплетные фазовые сдвиги NN -рассеяния для несвязанных каналов [6].

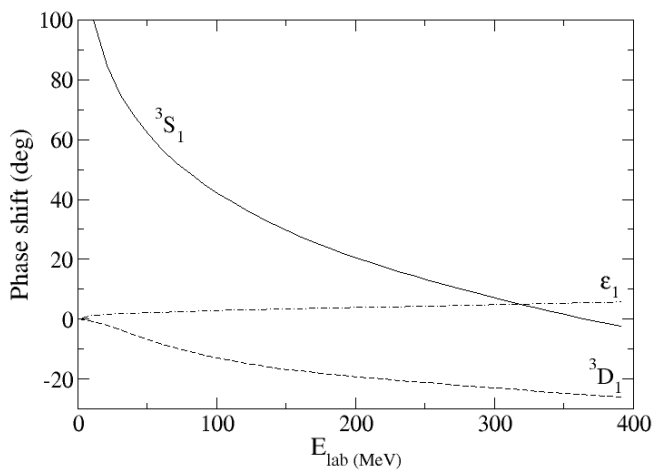


Рис. 1.12в. Триплетные фазовые сдвиги NN -рассеяния для связанных каналов 3S_1 - 3D_1 и параметр смешивания ϵ_1 .

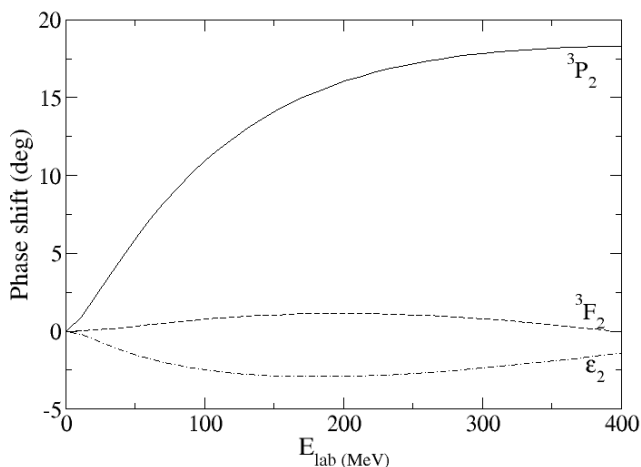


Рис. 1.12г. Триpletные фазовые сдвиги NN -рассеяния для связанных каналов 3P_2 – 3F_2 и параметр смешивания ϵ_2 .

Хорошо видно, насколько сложное энергетическое поведение демонстрируют реальные фазовые сдвиги NN -рассеяния. Чтобы описать такое сложное поведение NN -фазовых сдвигов, необходимо ввести в NN -потенциал члены типа $(\mathbf{L}\mathbf{S})$ и (\mathbf{L}^2) в дополнение к центральным и тензорным силам. В дополнение к обмену псевдоскалярными π -мезонами, эти потенциалы также включают в себя следующие обмены:

- скалярными σ -мезонами ($m_\sigma \approx 500$ МэВ);
- вектор-изовекторными ρ -мезонами ρ^+ , ρ^- , ρ^0 ($m_\rho \approx 780$ МэВ);
- вектор-изоскалярными ω -мезонами ($m_\omega \approx 800$ МэВ)
- еще несколькими мезонами, разными для различных моделей NN -потенциала.

В итоге, современные NN -потенциалы включают в себя много членов типа [7]:

$$V = V_C(r) + V_T(r) S_{12} + V_{LS}(r) \mathbf{LS} + V_{LL}(r) L_{12}, \quad (21)$$

где

$$S_{12} = \frac{3}{r^2} (\boldsymbol{\sigma}_1 \mathbf{r})(\boldsymbol{\sigma}_2 \mathbf{r}) - (\boldsymbol{\sigma}_1 \boldsymbol{\sigma}_2), \quad (22)$$

$$\begin{aligned} L_{12} &= (\boldsymbol{\sigma}_1 \boldsymbol{\sigma}_2) \mathbf{L}^2 - \frac{1}{2} ((\boldsymbol{\sigma}_1 \mathbf{L})(\boldsymbol{\sigma}_2 \mathbf{L}) + (\boldsymbol{\sigma}_2 \mathbf{L})(\boldsymbol{\sigma}_1 \mathbf{L})) = \\ &= (\delta_{JL} + (\boldsymbol{\sigma}_1 \boldsymbol{\sigma}_2)) \mathbf{L}^2 - (\mathbf{LS})^2. \end{aligned} \quad (23)$$

При этом радиальные функции каждого типа (т.е. V_C , V_T , V_{LS} и V_{LL}) также включают в себя суперпозицию нескольких (4–6) членов с множеством подгоночных параметров.

На Рис. 1.13 показана радиальная зависимость различных вариантов Наймегенского NN -потенциала для отдельных синглетных и триплетных несвязанных каналов с $L \leq 3$ [7].

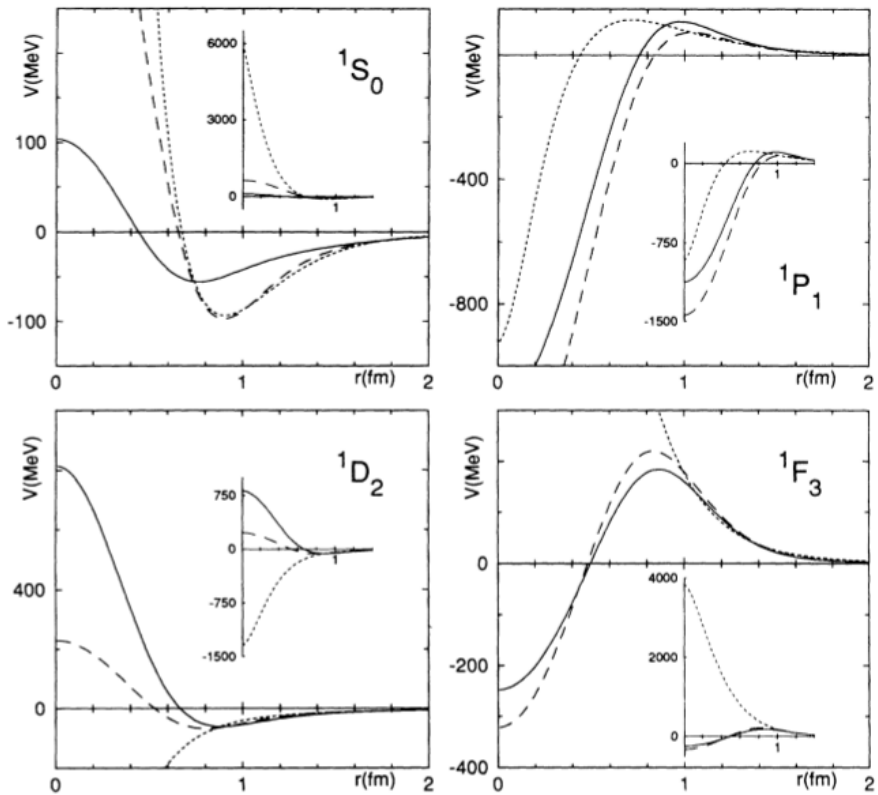


Рис. 1.13а. Варианты Наймегенских NN -потенциалов для синглетных каналов с $L \leq 3$: сплошные линии — NIJM I, штриховые — NIJM II, точечные — Reid 93.

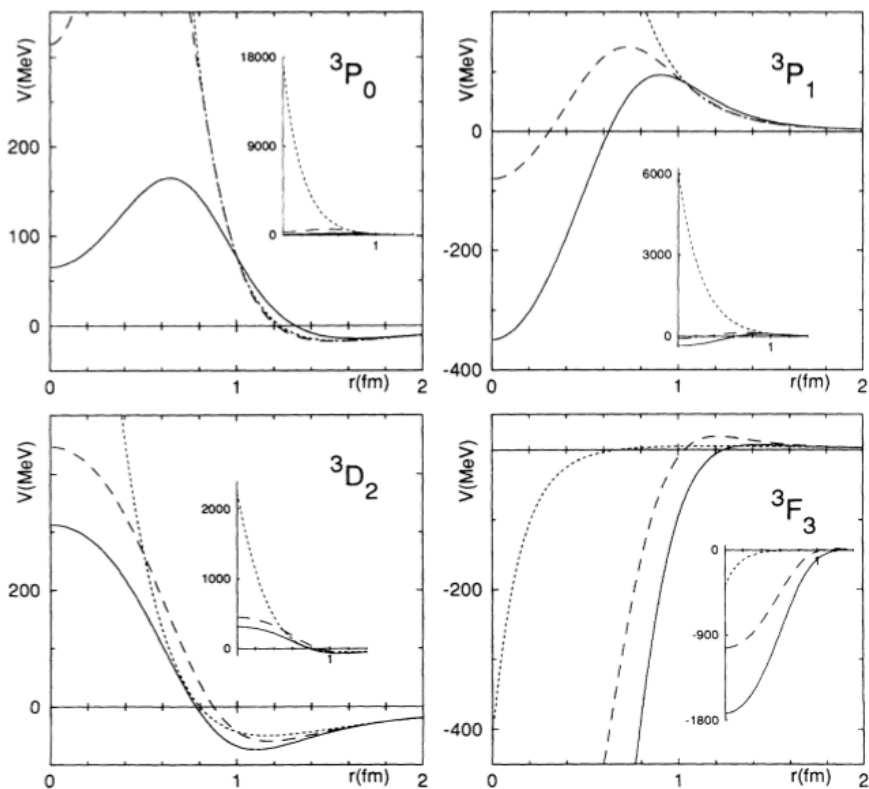


Рис. 1.13б. Варианты Наймегенских NN -потенциалов для триплетных несвязанных каналов с $L \leq 3$. Обозначения те же, что на Рис. 1.13а.

Таким образом, современные феноменологические NN -потенциалы включают в себя 40–45 подгоночных параметров, но при этом позволяют хорошо описать 2–3 тысячи (!) экспериментальных точек, отвечающих сечениям упругого NN -рассеяния и разным спин-зависящим наблюдаемым.

Все вышесказанное составляет в первом приближении современный NN -потенциал. Он хорошо описывает данные NN -

рассеяния вплоть до энергий $E_N = 350$ МэВ (в лабораторной системе).

1.6. СОВРЕМЕННОЕ РАЗВИТИЕ ЮКАВСКОЙ МОДЕЛИ ЯДЕРНЫХ СИЛ

Современное развитие мезонной теории ядерных сил пошло по двум основным направлениям:

построение феноменологических реалистических потенциалов высокой точности, которые очень хорошо подгоняют непосредственно NN -наблюдаемые с $\chi^2 \approx 1$ (в течение 80-х – 90-х гг. XX века);

развитие эффективной теории поля — effective field theory (EFT) — для NN -взаимодействия (1990–2005 гг.).

В настоящее время наиболее хорошо известны четыре высокоточных феноменологических NN -потенциала:

Аргоннский NN -потенциал [R.B. Wiringa, V.G.J. Stoks, R. Schiavilla, Phys. Rev. C 51, 38 (1995)];

Боннский NN -потенциал; одна из последних версий — CD-Bonn [R. Machleidt, Phys. Rev. C 63, 024001 (2001)];

Наймегенский NN -потенциал [V.G.J. Stoks et al., Phys. Rev. C 49, 2950 (1994)];

Улучшенный NN -потенциал Рейда (Reid93) [V.G.J. Stoks et al., Phys. Rev. C 49, 2950 (1994)].

Иногда также используется более старый и менее точный Парижский NN -потенциал [M. Lacombe et al., Phys. Rev. C 21, 861 (1980)].

Все эти так называемые реалистические потенциалы подогнаны под NN -данные, т.е. не под эмпирические фазовые сдвиги, а непосредственно под измеренные наблюдаемые,

вплоть до энергий $E_N = 350$ МэВ (в л.с.) с величиной $\chi^2 \approx 1$. Они отличаются друг от друга формой радиальной зависимости различных компонент, степенью нелокальности, зависимостью от относительного импульса и числом свободных параметров. Однако все они обеспечивают примерно одинаковое качество описание наблюдаемых в упругом NN -рассеянии.

Кроме того, имеется нетрадиционный Московский NN -потенциал, предложенный в середине 1970-х гг. в работах В.Г. Неудачина с сотрудниками [8] и обобщенный для всех парциальных волн в 1998 г. [9]. Но он уже более тесно связан с кварковой моделью, чем с классической картиной мезонного обмена Юкавы. Поэтому мы будем обсуждать его в следующих Лекциях.

1.7. ЭФФЕКТИВНАЯ ТЕОРИЯ ПОЛЯ ДЛЯ NN -ВЗАИМОДЕЙСТВИЯ

Главная трудность в точном и последовательном теоретическом описании ядерных сил заключается в неприменимости теории возмущений в квантовой хромодинамике (КХД), в отличие от квантовой электродинамики, где ряд теории возмущений по параметру $\alpha = e^2/\hbar c \approx 1/137$ быстро сходится. В КХД, которая является теоретическим фундаментом физики сильных взаимодействий, теория возмущений практически бесполезна, так как основными объектами КХД являются ненаблюдаемые глюоны и кварки, а не нуклоны и мезоны, составляющие естественный язык для описания ядерных сил. Кроме того, для вычисления NN -взаимодействия в рамках КХД необходимо точное численное решение уравнений КХД для системы шести взаимодействующих кварков и глюонов. Эта задача оказывается слишком

сложной, хотя определенный прогресс в этом направлении был достигнут японскими исследователями (см. обсуждение в разделе 2.3 следующей лекции). Один возможный выход был предложен в начале 70-х годов прошлого века Стивенем Вайнбергом [10,11] — это так называемая эффективная теория поля (Effective Field Theory — EFT).

Идея Вайнберга была навеяна известным формализмом приближения эффективного радиуса в теории рассеяния, справедливым при низких энергиях. В свою очередь приближение эффективного радиуса основано на наблюдении, что при низкой энергии столкновения частиц длина волны де Бройля λ намного больше радиуса их взаимодействия. При таких условиях детали взаимодействия (т.е. форма потенциала) оказываются несущественными, и влияние потенциала на амплитуду рассеяния можно описать с помощью нескольких констант (длины рассеяния и эффективного радиуса). Таким образом, амплитуду рассеяния при низких энергиях можно представить рядом по безразмерному параметру R/λ , где R — радиус сил, а λ — длина волны де Бройля. Все это хорошо известно из теории дифракции в оптике.

В EFT вместо λ используется малый относительный импульс сталкивающихся частиц k , а вместо радиуса сил R — характерный импульс Λ_{QCD} , отвечающий возбуждению внутренних (кварк-глюонных) степеней свободы нуклона или другой сильно взаимодействующей частицы. Т.е. в EFT используется разложение по безразмерному параметру k/Λ_{QCD} . Ясно, что такое разложение амплитуды рассеяния является низкоэнергетическим и справедливо при $k \ll \Lambda_{\text{QCD}} \approx 1 \text{ ГэВ}/c$. Членам такого ряда с увеличивающимися степенями импульса отвечают диаграммы Фейнмана для пионов и нуклонов все более высокого

порядка, т.е. все более сложные диаграммы с большим числом промежуточных мезонных линий. Однако, очевидно, что никакая конечная комбинация таких членов ряда теории возмущений, включающая только кратные пионные обмены между нуклонами, не может дать точное описание эмпирических NN -амплитуд, поскольку даже в минимальном варианте амплитуды включают вклады, обусловленные обменами ρ - и ω -мезонами, а также возбуждения промежуточных Δ -изобар. Поэтому для описания эмпирических NN -амплитуд, даже в области применимости EFT (при $E_N < 350$ МэВ), кроме суперпозиции диаграмм Фейнмана определенного типа, необходимо включить также короткодействующие компоненты сил, которые находятся вне рамок такого подхода. Эти короткодействующие силы обычно параметризуются в EFT контактными членами в форме δ -функций с коэффициентами, которые подгоняются прямо под эмпирические амплитуды в каждой парциальной волне [12].

В соответствии с максимальной степенью учитываемых членов в ряде по k/Λ_{QCD} различают следующие порядки EFT: LO (leading order) — ведущий порядок, NLO (next-to-leading order) — следующий за ведущим порядок, NNLO (next-to-next-to-leading order), $N^3\text{LO}$, $N^4\text{LO}$ и т. д. К 2017 году были вычислены члены разложения EFT вплоть до $N^5\text{LO}$ для парных NN -сил и NNLO для трехнуклонных сил.

Чем выше учитываемый порядок разложения, тем больше подгоночных констант включает этот подход. При использовании $N^3\text{LO}$ требуется около 45 подгоночных параметров для контактных членов. Согласно изначальной идее Вайнберга, параметры контактных членов не должны зависеть от используемого порядка EFT, т.е. в принципе их можно определить один раз и

зафиксировать на все дальнейшее развитие этого подхода. Однако, в действительности это оказалось неверным, и параметры контактных членов в каждом порядке теории возмущений меняются при переходе от более низкого к более высокому порядку EFT, что, конечно, снижает ценность всего подхода.

Преимуществом эффективной теории поля Стандартной модели является возможность описания не только нуклон-нуклонного взаимодействия, но и $\pi\pi$ -взаимодействия, а также взаимодействия пионов с другими частицами (N , Δ , ρ и т. д.) при низких энергиях.

На Рис. 1.14 в качестве иллюстрации показан эффективный изоскалярный центральный NN -потенциал в приближении NNLO, как функции межнуклонного расстояния r . На верхнем рисунке показан центральный потенциал при $r \leq 2$ Фм, а на нижнем при $r > 2$ Фм. Здесь сплошными линиями показаны потенциалы, отвечающие бесконечной константе Λ , тогда как серая полоса отвечает вариации Λ от 500 до 800 МэВ. Линии с короткими (длинными) штрихами отвечают учету феноменологических вкладов σ ($\sigma + \omega + \rho$), основанных на изоспин-триплетном Боннском потенциале OBEPR.

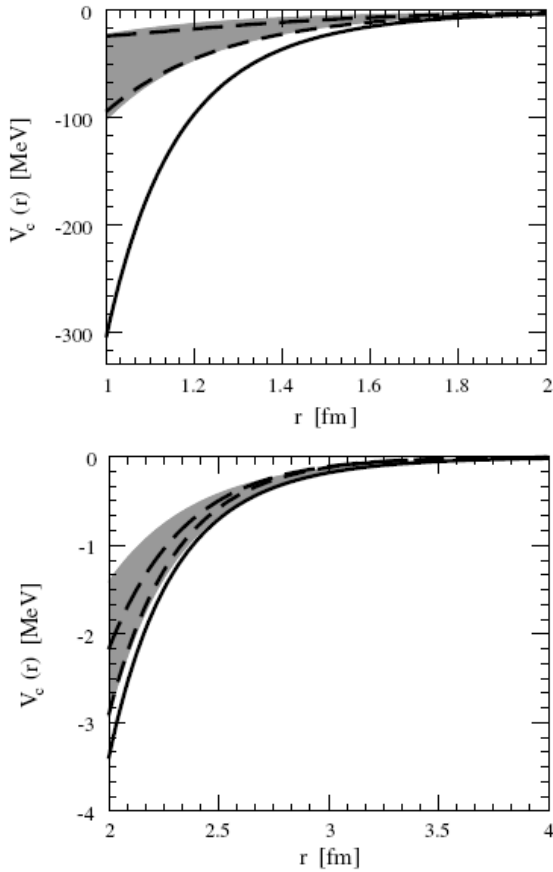


Рис. 1.14. Изоскалярный центральный NN -потенциал двухпионного обмена в приближении NNLO [см. E. Epelbaum et al., Eur. Phys. J. A 19, 125 (2004)].

На Рис. 1.15 показаны D -волновые фазовые сдвиги NN -рассеяния: синглетные 1D_2 и триплетные 3D_J ($J = 1, 2, 3$) в зависимости от энергии столкновения (в лабораторной системе).

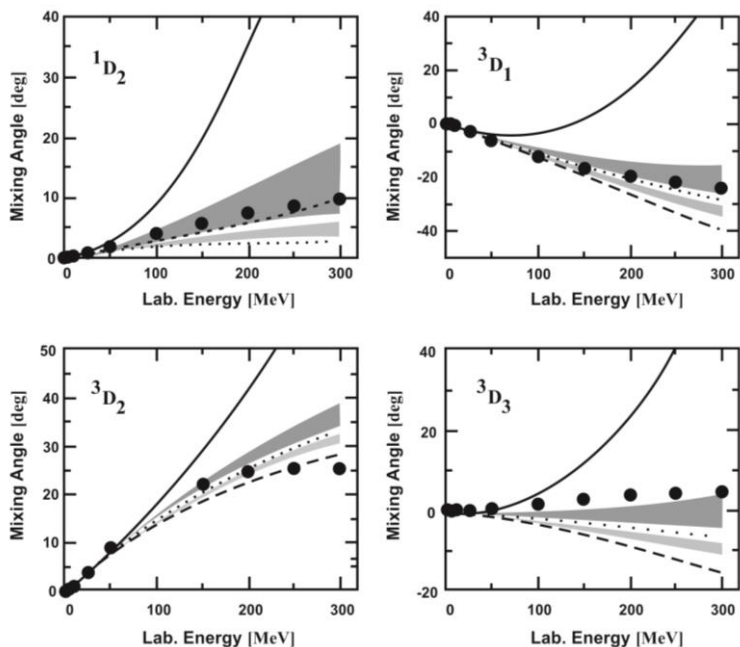


Рис. 1.15. D -волновые фазовые сдвиги NN -рассеяния, рассчитанные в рамках EFT. Жирными точками показаны эмпирические фазовые сдвиги, найденные в фазовом анализе экспериментальных данных по упругому NN -рассеянию. Точечные кривые отвечают низшему порядку LO (этот порядок фактически соответствует чисто Юкавскому потенциалу одномезонного обмена), штриховые (сплошные) кривые отвечают NLO (NNLO). Заштрихованная темная (светлая) область соответствует NLO- (NNLO-) результатам со специальной параметризацией на малых расстояниях с параметром обрезания $\Lambda = 500\text{--}800$ МэВ.

Из рисунка видно, что NN -потенциал, построенный в NNLO с использованием специальной регуляризации, в целом правильно описывает NN -фазы вплоть до энергий $E_N = 300$ МэВ. При этом результаты сильно зависят от выбора параметра обрезания Λ .

В настоящее время (2017 год) EFT-подход стал очень популярным и доминирует в теоретических исследованиях ядерных сил [12]. На этом пути удалось внести некоторую систему в почти произвольные феноменологические подходы, широко используемые в предыдущие годы. Однако ни одного известного парадокса, связанного с ядерными силами, с помощью EFT разрешить не удалось. Это означает, что причиной многочисленных ранее замеченных парадоксов является не неверная параметризация отдельных компонент ядерных сил, а отсутствие каких-то базовых механизмов, выходящих за рамки концепции EFT. В следующих Лекциях мы обсудим некоторые из таких альтернативных механизмов, связанных с природой короткодействующих $2N$ - и $3N$ -сил.

1.8. ВЫВОДЫ

Хотя современная картина мезонных обменов в NN -взаимодействии (особенно в рамках эффективной теории поля) выглядит намного более точной и последовательной, чем 20 лет назад, не говоря уже о 50-х годах прошлого века, в ней имеется еще столь много необъяснимых парадоксов и загадок, а также явных непоследовательностей, что это заставляет сильно усомниться в правильности этой модели, в особенности на средних и малых межнуклонных расстояниях. В этой области в игру вступают кварковые степени свободы.

Литература

1. W. Heisenberg, Z. Phys. **77**, 1 (1932); *ibid.* **78**, 156 (1932); *ibid.* **80**, 587 (1933).
2. E. Fermi, Z. Phys. **88**, 161 (1934); Ig. Tamm, Nature **133**, 981 (1934); D. Iwamoto, Nature **133**, 981 (1934).

3. Н. Yukawa, Proc. Phys. Math. Soc. Japan **17**, 48 (1935) [см. перепечатки в сборниках Р.Т. Вейер, *Foundation of Nuclear Physics* (Dover, N.Y., 1949); D.M. Brink, *Nuclear Forces* (Pergamon Press, 1965), p. 214].
4. Л.Б. Окунь, *Лептоны и кварки*, Изд. третье (УРСС, М., 1990).
5. D.O. Riska, G. Brown, Phys. Lett. B **32**, 662 (1970); *ibid.* **38**, 193 (1972); D.O. Riska, R. Schiavilla, arXiv:1603.0153 [nucl-th].
6. М. Paris, D. Arndt, R. Workman, W. Briscoe, I. Strakovsky, *The SAID amplitudes*, Preprint University Washington (INT-JLab Workshop on Hadron Spectroscopy, 12 Nov. 2009).
7. J.J. de Swart, R.A.M.M. Klomp, M.C.M. Rentmeester, Th.A. Rijken, Few-Body Syst. Suppl. **99**, 1 (2008).
8. V.G. Neudatchin, I.T. Obukhovskiy, V.I. Kukulin, N.F. Golovanova, Phys. Rev. C **11**, 128 (1975).
9. V.I. Kukulin, V.N. Pomerantsev, A. Faessler, Phys. Rev. C **59**, 3021 (1999).
10. S. Weinberg, Phys. Lett. B **251**, 288 (1990); *ibid.* **295**, 114 (1992); Nucl. Phys. B **363**, 3 (1991).
11. E. Epelbaum, *Nuclear forces from chiral effective field theory — a primer*, Talk at the 2009 Joliot-Curie School (Lanau, France, 27 Sept. 2009).
12. R. Machleidt, *Chiral effective field theory for nuclear forces: Achievements and challenges*, EPJ Web of Conferences **66**, 01011 (2014).